

# 플라즈마 정보인자를 활용한 SiO<sub>2</sub> 식각 깊이 가상 계측 모델의 특성 인자 역할 분석

장윤창<sup>\*\*†</sup>·박설혜<sup>\*</sup>·정상민<sup>\*</sup>·유상원<sup>\*</sup>·김곤호<sup>\*</sup>

<sup>\*\*†</sup> 서울대학교 에너지시스템공학부

## Role of Features in Plasma Information Based Virtual Metrology (PI-VM) for SiO<sub>2</sub> Etching Depth

Yun Chang Jang<sup>\*\*†</sup>, Seol Hye Park<sup>\*</sup>, Sang Min Jeong<sup>\*</sup>, Sang Won Ryu<sup>\*</sup> and Gon Ho Kim<sup>\*</sup>

<sup>\*\*†</sup> Department of Energy Systems Engineering, Seoul National University

### ABSTRACT

We analyzed how the features in plasma information based virtual metrology (PI-VM) for SiO<sub>2</sub> etching depth with variation of 5% contribute to the prediction accuracy, which is previously developed by Jang. As a single feature, the explanatory power to the process results is in the order of plasma information about electron energy distribution function (PI<sub>EEDF</sub>), equipment, and optical emission spectroscopy (OES) features. In the procedure of stepwise variable selection (SVS), OES features are selected after PI<sub>EEDF</sub>. Informative vector for developed PI-VM also shows relatively high correlation between OES features and etching depth. This is because the reaction rate of each chemical species that governs the etching depth can be sensitively monitored when OES features are used with PI<sub>EEDF</sub>. Securing PI<sub>EEDF</sub> is important for the development of virtual metrology (VM) for prediction of process results. The role of PI<sub>EEDF</sub> as an independent feature and the ability to monitor variation of plasma thermal state can make other features in the procedure of SVS more sensitive to the process results. It is expected that fault detection and classification (FDC) can be effectively developed by using the PI-VM.

**Key Words** : Silicon oxide etching, Plasma information (PI) variable, Virtual metrology (VM), Optical emission spectroscopy (OES), Statistical selection method, PI-VM

### 1. 서 론

최근 반도체 공정은 CD 감소에 따라 복잡한 공정에서 미세한 제어를 요구한다 [1]. 공정 변동에 따른 제어 응답 시간을 단축하기 위해 공정 결과에 대한 주기적인 계측이 필요하다 [2]. 그러나 공정 단계가 크게 증가함에 따라 오프라인 계측을 사용하여 모든 웨이퍼의 상태를 직접

측정하는 것은 시간과 비용 측면에서 비효율적이다.

오프라인 계측의 단점은 공정 결과에 대한 가상 계측 기술 (Virtual Metrology, VM)로 보완할 수 있다 [4]. VM은 장비 엔지니어링 시스템 (Equipment Engineering System, EES)에서 실시간으로 수집된 데이터 세트를 입력으로 통계적인 방법론을 이용하여 공정 결과를 예측하는 기술이다 [4-6]. 이미 취득된 데이터를 이용하여 한번 모델을 훈련 (training)하면 다음 입력 데이터가 주어졌을 때, 시간 지연이 거의 없이 공정 결과를 예측할 수 있고, 고장 검출 및 분류 알고리즘 (Fault Detection and Classification, FDC) 개발에

<sup>†</sup>E-mail: js1wofl@snu.ac.kr

대한 단서를 제공할 수 있다는 이점이 있다 [4-6].

넓은 의미의 공정 데이터에는 데이터 (data), 변수 (variable), 특성 인자 (feature)가 있다. ‘데이터’는 EES에 저장된 장비 및 센서의 원시 정보이고, ‘변수’는 어떠한 세트의 값을 갖는 물리량이며, ‘특성 인자’는 VM의 입력으로 선택된 변수로 정의된다 [7].

최근 플라즈마 분광학을 이용하여 개발된 플라즈마 정보인자 (Plasma information, PI)를 이용하여 가상 예측의 특성 인자로 사용하는 PI-VM이 개발되고 있다 [8-11]. PI 인자에는 각각 플라즈마 전자의 열평형 상태 (PI<sub>EEDF</sub>), 프리 쉬스 (pre-sheath)에서 전압 강하 (PI<sub>sh</sub>), 열에 의한 표면 반응 (PI<sub>D</sub>), 그리고 플라즈마 장치 벽면 상태 (PI<sub>wall</sub>)에 대한 정보를 나타내는 인자들이 개발되고 있다 [10-11].

PI 인자들은 플라즈마를 이용한 공정에서 플라즈마 평형 상태를 나타내는 인자로서, 취득된 미가공 데이터에 비해 프로세스 결과의 변동을 보다 민감하게 모니터링할 수 있음이 알려져 있다 [10-11]. PI인자들을 특성 인자로 구성한 PI-VM은 PCA 등의 단순 통계 기반의 VM에 비해 높은 예측 정확도를 보여주었으며, 사용된 특성 인자를 분석하여 공정 메커니즘에 대한 이해를 높일 수 있다는 것이 관찰되었다 [8-11].

PI-VM의 많은 장점에도 불구하고, PI-VM의 특성인자 (feature)로 사용될 PI 인자를 모두 개발해서 사용하는 것은 현실적으로 매우 어렵다. PI 개발에는 플라즈마 동역학, 플라즈마 화학, 플라즈마 재료 상호 작용 및 플라즈마 분광법에 대한 광범위한 지식과 공정의 이해가 필요하기 때문이다. 예를 들어 차세대 반도체 제조를 위해서 새로운 가스가 도입되었을 때 원자 및 분자 데이터, 특히 플라즈마 분광학 해석을 위한 충돌 단면적에 대한 데이터가 없다면 적절한 PI 인자를 개발하기 어렵다 [11].

PI 특성인자들만으로 구성된 PI-VM의 개발은 현실적으로 매우 어렵다. 따라서 플라즈마 공정 모니터링에서 가장 기여도가 높은 PI 인자를 ‘변수’로 통계적인 변수 선택 방법에 적용하여 다른 관련도 높은 입력 변수와 함께 사용하는 방법이 일반적으로 활용될 수 있다 [11]. 기존 연구에서는 SiO<sub>2</sub> 식각 깊이 예측에 PI<sub>EEDF</sub>, OES 센서 변수와 장비 변수를 입력 변수로 단계적 회귀 분석 변수 선택법 (Stepwise Variable Selection, SVS)을 사용하여 개발된 PI-VM<sub>STA</sub>는 현상학 기반으로 PI특성인자들만으로 구성된 PI-VM [8]과 유사한 예측 정확도를 나타냈다. 따라서 현상학 기반의 PI 인자를 통계적 선택 방법론에 도입해 함께 얻어진 특성인자들을 분석함으로써 비교적 개발이 용이하게 PI-VM을 개발할 수 있을 것이다. 이러한 적은 수의 PI 특성인자들을 이용해서 비교적 정확한 VM 개발 가능성에 대한 논의는 PI-VM 기술 활용의 관점에서 매우 중요하다.

본 연구에서는 선행 연구 [11]에서 개발된 PI-VM<sub>STA</sub>의 특성인자들의 VM에 대한 기여도를 해석한다. PI<sub>EEDF</sub>, OES 센서, 장비의 각 특성인자들이 독립적으로 사용되었을 때와 단계적 회귀 분석 변수 선택법을 통해 선택되었을 때, 얼마나 결과변수에 대한 설명력을 갖는지 분석하였다.

## 2. 실험 방법

### 2.1 실험 장비

SiO<sub>2</sub> 절연막 실각실험에 사용된 시편은 바닥 바나 방지 코팅 (BARC) 및 비정질 탄소층 (ACL)으로 구성된 마스크로 패터화된 쿠폰을 사용하였다. 총 50개의 쿠폰에 대해 2개의 구성세트 (Lot)으로 나누어 공정을 진행하였다. 공정 장비는 반도체 절연막 식각 공정에 주로 사용되는 삼중주파수 축전 결합형 플라즈마 (TF-CCP) 장치를 사용하고 Ar, C<sub>4</sub>F<sub>8</sub>, O<sub>2</sub> 가스를 방전시켰다. 상부 전극에는 고주파 (VHF) RF 전원을 인가하고 하부 전극의 저주파 (LF)와 중간 주파수 (MF) RF 전원을 인가하여 이온에너지를 조절하였다 [12]. 공정 결과는 식각 깊이 약 1.6 μm로 약 5%의 변동을 가졌다. 각 공정 중 광학 방출 분광법 (Optical Emission Spectroscopy, OES)의 센서 데이터와 EES에 기록되는 장비 데이터를 취득해서 PI 인자와 VM 개발에 활용하였다. 특히 OES 데이터는 총 1200 파장의 스펙트럼 신호로 구성되었으며, 장비 데이터는 70종류를 취득하여 사용하였다. 실험 장치와 공정 조건에 대한 자세한 설명은 선행 연구 [8,11,13]에 기재되어 있어 본 논문에서는 생략한다.

### 2.2 PI-VM<sub>STA</sub> 모델링 방법론

VM 모델은 (1) 입력 데이터 세트의 전처리, (2) 데이터 탐색, (3) 특성 인자 선택, (4) 모델 훈련, (5) 모델 평가의 과정을 통해 개발되었다. PI<sub>EEDF</sub> 인자를 가지고 개발되었고, PI-VM<sub>STA</sub>가 가장 높은 예측 정확도를 나타냈다. PI<sub>EEDF</sub>가 변수로서 상기 언급한 (2)번과 (3)번 사이에 삽입되어 통계적 선택 방법론을 통해 OES, 장비 변수와 함께 특성 인자로 선택되도록 하였다. 자세한 PI-VM 모델 개발 과정은 역시 선행 논문 [11]에 설명되어 본 논문에서는 생략하였다.

각 특성 인자가 독립적으로 사용될 때 결과 변수 (식각 깊이)에 대한 설명도는 산점도 (scatter plot)과 피어슨 상관 계수 (Pearson's correlation coefficient)로 분석하였다. 두가지 방법을 통해 식각 깊이의 분산도와 특성 인자의 분산도를 비교하였다.

특성인자가 PI-VM 모델에서 함께 사용될 때 모델의 결과 예측에 대한 기여도는 다음 두 가지 방법으로 분석하

였다. 먼저 PI-VM<sub>STA</sub> 모델 훈련의 단계적 회귀 분석 (Stepwise Variable Selection, SVS) 각 단계에서 선택되는 특성 인자에 따라 모델의 결과 변수에 대한 예측 오차를 계산 하였다. SVS 방법은 결과 변수를 예측하기 위해 선형 회귀 분석 모델에 적합한 입력변수의 부분 집합 세트 (특성 인자 세트)를 구성하는 방법이다 [11]. 각 단계에서 특정 변수가 더해지거나 빠지는 경우 모델의 설명력이 통계적 기준을 만족한다면 다음 단계로 진행된다. 더 이상 모델의 설명력이 유의미하게 증가하지 않을 때까지 위 단계는 반복된다.

PI-VM<sub>STA</sub>가 수립되고 난 후 각 특성인자의 VM 모델의 정확도 향상에 대한 기여도는 정보 벡터 (informative vector) 로 분석하였다 [14]. 정보 벡터의 j번째 요소 (component)의 절댓값은 j번째 변수가 얼마나 결과 변수의 변동을 설명할 수 있는지 알려준다. 만약 모든 입력 변수와 결과 변수가 선형적으로 관계가 있다고 가정한다면, 다변량 회귀 분석시 얻어지는 회귀 벡터 (regression vector)는 그 자체로 정보 벡터이다 [14]. 예를 들어 PI-VM<sub>STA</sub>가 결과 변수 y에 대해 특성인자 x<sub>i</sub>가 다음의 선형관계를 갖는다면

$$y = \sum_j \beta_j x_j + \beta_0, \quad (1)$$

특성 인자 x<sub>i</sub>의 계수  $\beta_j$ 가 정보 벡터의 j 번째 요소이다.

### 3. 결과 및 논의

#### 3.1 단일 변수로서 특성 인자 분석

PI<sub>EEDF</sub> 특성인자를 포함한 OES, 장비 변수로부터 SVS 통계 처리를 통해 PI-VM<sub>STA</sub> 특성인자를 얻었다. PI-VM<sub>STA</sub>의 특성인자는 PI<sub>EEDF</sub>, 장비 (VHF Load Position, Throttle Valve Position), OES 센서 (CF<sub>2</sub> line, F line (14.52 eV, 25.1 eV), C<sub>2</sub> line)로 구성되어 있다. Fig. 1은 각 특성인자가 단독으로 결과 변수를 얼마나 설명할 수 있는지를 보여준다. 각 인자들과 공정 결과 (식각 깊이)의 관계는 피어슨 상관도의 절댓값으로 설명할 수 있다. PI<sub>EEDF</sub>가 식각 깊이에 대해 가장 높은 상관관계, 즉 높은 설명력을 가지고 있다. 그 다음으로 설명력이 높은 인자는 장비 특성 인자, OES 특성 인자이다. 본 공정에서 OES 특성 인자는 단독으로 사용되었을 때, 매우 낮은 설명력을 가짐을 알 수 있다.

사용된 특성 인자들 중 대표적으로 PI<sub>EEDF</sub>, 장비 인자인 VHF Load Pos., OES 센서 인자인 C<sub>2</sub> line를 식각 깊이에 따른 산점도를 나타낸 결과는 Fig. 2와 같다. PI<sub>EEDF</sub>는 큰 분산도를 가지고, 식각 깊이에 민감하게 반응한다. 이는 PI<sub>EEDF</sub>가 PI-VM의 예측 정확도 향상에 기여한다는 점을 뒷받침한

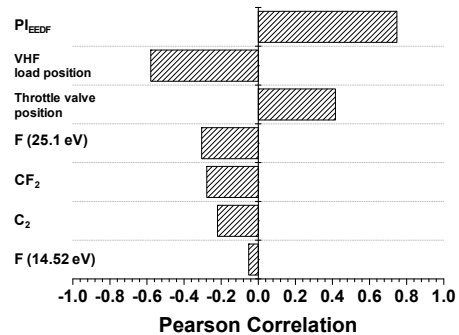


Fig. 1. Pearson correlation of each features in PI-VM<sub>STA</sub> with etching depth.

다. 장비 특성인자는 상대적으로 낮은 분산을 가지고 있지만 공정 결과에 대해서는 상대적으로 민감하게 반응한다. OES 특성 인자는 그 자체로 큰 분산을 가지고 있지만 단독으로는 공정 결과를 설명하지 못한다.

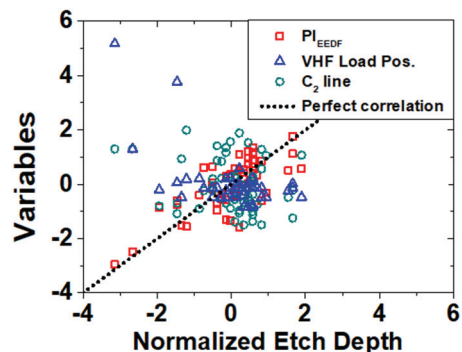


Fig. 2. Scatter plot of PI<sub>EEDF</sub>, VHF Load Pos., and C<sub>2</sub> line according to normalized etch depth.

PI인자를 변수 선택단계에서 도입하여 추출된 특성 인자들을 단순히 단일 인자로서 결과 변수에 대한 설명도를 평가하는 것 만으로는 PI 인자가 공정진단의 정확도 개선에 어떤 역할을 하였는지 확인하기 어렵다. PI 인자가 제공하는 플라즈마 상태 정보를 기반으로 다른 특성 인자들의 공정진단 개선에 대한 역할을 분석한다.

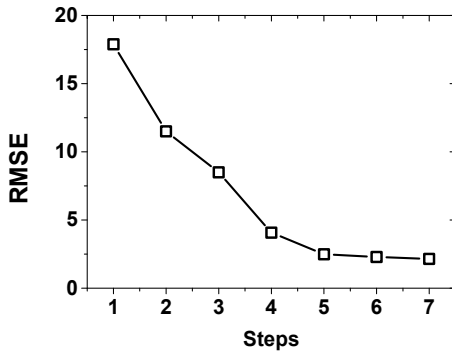
#### 3.2 PI-VM<sub>STA</sub>의 특성 인자의 기여도 분석

단계적 회귀 분석법을 통해 선택된 특성인자의 순서는 Table 1과 같다. 첫번째로 선택된 특성 인자는 예상된 바와 같이 PI<sub>EEDF</sub>이다. 흥미롭게도 2, 3, 4 번째로 선택된 특성 인자들은 결과 변수에 대한 상관도가 낮은 OES 특성 인자

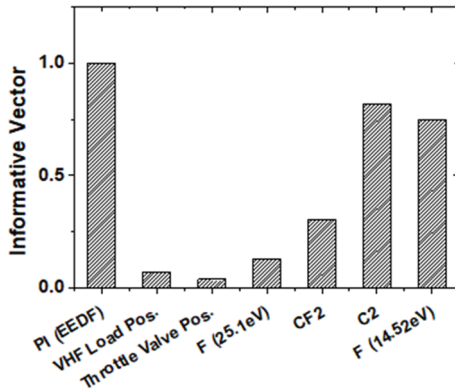
들이다. 이 변수들은 PI<sub>EEDF</sub> 없이 단계적 회귀 분석법을 수행한 VM<sub>STA</sub>에서는 선택되지 않았다 [11]. 또한 OES 특성 인자들이 선택되었을 시 모델의 예측 오차가 유의미하게 감소하였다. 오직 가능한 설명은 PI<sub>EEDF</sub>가 OES 변수들 선택에 기여했다는 점이다.

**Table 1.** Selected features for each step by stepwise variable selection

Step	Feature
1	PI <sub>EEDF</sub>
2	CF <sub>2</sub> line
3	F line (14.52 eV)
4	C <sub>2</sub> line
5	VHF Load Position
6	F line (25.1 eV)
7	Throttle Valve Position



**Fig. 3.** Root Mean Squared Error (RMSE) of VM for each stepwise variable selection step.



**Fig. 4.** Informative vector for PI-VM<sub>STA</sub> using stepwise variable selection

본 연구를 통해서 확인한 내용은 통계적으로 VM을 구성 시 주요사항 중 하나는 어느 특정 변수가 단일 변수로서는 결과 변수에 대한 설명력이 낮으나 다른 변수와 함께 사용시 결과 변수에 대한 설명이 높아질 수 있다 [15]. 정보 벡터 취득으로부터 PI-VM<sub>STA</sub> 모델을 구성하는 특성 인자들이 VM 성능에 대한 기여도를 분석할 수 있었다. Fig. 4와 같이 OES 특성 인자는 PI(v)-VM<sub>STA</sub>에서 PI<sub>EEDF</sub> 다음으로 중요한 값을 보여준다.

### 3.3 PI<sub>EEDF</sub>의 역할 분석

단계적 회귀 분석법을 이용한 PI(v)-VM<sub>STA</sub>은 PI<sub>EEDF</sub>와 OES 특성 인자를 사용하여 동일 식각 공정 조건에서 식각 깊이의 미세 변동을 설명한다. 식각 깊이는 라디칼과 이온의 화학종들의 입사속에 의해 지배받는다. 그러므로 식각 깊이는 화학종들의 생성물에 민감하게 변한다. k화학종의 생성에 대한 j 화학종과 전자 충돌로 생기는 반응율은 아래 수식과 같다.

$$R_{kj} = n_j n_e \int_{E_{thr}}^{\infty} \sigma_j(\varepsilon) \sqrt{\varepsilon / 2m_e} f(\varepsilon) d\varepsilon, \quad (2)$$

여기서  $n_j$ 와  $n_e$ 는 j 화학종과 전자의 밀도,  $\sigma_j$ 는 j화학종에 대한 전자 충돌 단면적 (electron impact collision cross section),  $m_e$ 는 전자 질량,  $E_{thr}$ 는 반응의 문턱에너지 (threshold energy)이다.

반면에 OES의 선 세기 (line intensity)는 아래 수식으로 나타낼 수 있다.

$$I_{pk} \propto T(\lambda) \theta_{pk} n_e n_g \langle \sigma v \rangle \frac{A_{pk}}{\sum_i A_{pi}}, \quad (3)$$

여기서  $T(\lambda)$ 는 특정 파장의 투과율,  $\theta_{pk}$ 는 p 상태에서 k 상태로의 광자 탈출 상수 (photon-escape factor),  $n_g$ 는 바닥 상태의 가스 밀도,  $A_{pk}$ 는 p 상태에서 k 상태로 천이하는 방사 붕괴 (radiative decay) 상수,  $\langle \sigma v \rangle$ 는 에너지 의존의 반응 단면적의 중첩 적분 (convolution integral)이다.  $\langle \sigma v \rangle$ 를 자세히 나타내면 식 (4)와 같다.

$$\langle \sigma v \rangle = \int_{E_{thr}}^{\infty} \sigma(\varepsilon) \sqrt{\varepsilon / 2m_e} f(\varepsilon) d\varepsilon, \quad (4)$$

비록 j번째 화학종과 관련된 OES 선 세기가  $n_g$ ,  $n_e$ ,  $f(\varepsilon)$ 에 대한 정보를 가지고 있다고 하더라도 이것은 모든 정보가 복잡하게 얽혀 있어  $R_{kj}$ 를 나타내기 어렵다. 여기서 PI<sub>EEDF</sub> 인자는 식 (4)를 포함한 식 (3)의 OES 선 비율 (line ratio)로부터 플라즈마 전자들의 열적 평형 상태인  $f(\varepsilon)$ 에 대한 정보를 추출해서 나타낸다 [8-10]. PI<sub>EEDF</sub> 인자는 복잡

한 공정에서 독립적인 정보를 제공한다. 이를 특정 화학 종에 대한 OES 변수와 함께 사용시 식 (2)의  $n_g$ ,  $n_e$ 에 대한 정보를 제공하여 보다 설명도가 높은 PI-VM을 구성할 수 있다. 따라서  $PI_{\text{EEDF}}$ 가 제공하는 플라즈마 전자의 열적 평형 상태는 식각 라디칼 생성률, 식각 이온속 (ion flux) 예측에 주요 인자로서  $PI_{\text{EEDF}}$  추적은 공정 플라즈마의 이해를 위해 매우 필수적인 인자임을 알 수 있다.

#### 4. 결 론

본 연구에서는 기존에 개발된 PI-VM<sub>STA</sub>의 특성 인자들의 SiO<sub>2</sub> 식각 깊이 결과 예측 정확도에 대한 기여도를 평가했다. 이 분석을 통해  $PI_{\text{EEDF}}$ 와 공정 인자들의 결합을 통해서 공정 결과 예측의 개선 이유를 설명했다. 단일 변수로서 공정 결과에 대한 설명력은  $PI_{\text{EEDF}}$ , 장비, OES 특성 인자 순서였다. 단계적 회귀 분석법을 통해 특성 인자를 선택 시  $PI_{\text{EEDF}}$  다음에 OES 특성 인자가 선택되었으며 정보 벡터에서도 결과 변수에 대한 높은 상관도를 나타냈다. 이는 PI 인자를 통해 식각 깊이를 지배하는 각 화학종에 대한 반응율의 변동을 보다 정밀하게 분석하고 예측할 수 있는 정보를 확보할 수 있음을 보여준다. 저진공 식각 공정에서의 PI 인자 확보는 향후 공정 개발 및 제어에서 매우 중요한 역할을 할 것이다.

#### 감사의 글

이 논문은 산업통상자원부 전자정보디바이스산업 원천기술개발사업(반도체 공정장비, 2006534) 및 BK21 플러스 사업(No.21A20130012821)에 의하여 일부 지원되었음.

#### 참고문헌

- Kang, S. et al., "Efficient Feature Selection-Based on Random Forward Search for Virtual Metrology Modeling," IEEE Trans. Semicond. Manuf., Vol. 29, pp. 391-398, 2016.
- Pan, C. R. et al., "Scheduling cluster tools in semiconductor manufacturing: recent advances and challenges," IEEE Trans. Autom. Sci. Eng., Vol. 15, pp. 586-601, 2018.
- Cheng, F.T. et al., "Benefit model of virtual metrology and integrating AVM into MES," IEEE Trans. Semicond. Manuf., Vol. 24, pp. 261-272, 2011.
- Fukasawa, M. et al., "Prediction of Fluctuations in Plasma-Wall Interactions Using an Equipment Engineering System," Jpn. J. Appl. Phys., Vol. 48, p. 08HC01, 2009.
- Lynn, S. et al., "Virtual Metrology for Plasma Etch Using Toll variables," in IEEE/SEMI Advanced Semiconductor Manufacturing Conference, pp. 143-148, 2009.
- Khan, A. A. et al., "An approach for factory-wide control utilizing virtual metrology," IEEE Trans. Semicond. Manuf. Vol. 20, pp. 364-375, 2007.
- Chandrashekar, G., Sahin, F., "A survey on feature selection method," Computers and Electrical Engineering, Vol. 40, pp. 16-28, 2014.
- Park, S. et al., "Enhancement of the Virtual Metrology Performance for Plasma-Assisted Oxide Etching Processes by Using Plasma Information (PI) Parameters," IEEE Trans. on Semicond. Manuf., Vol. 28, pp. 241-246, 2015.
- Park, S. et al., "Vacuum pump age effects by the exposure to the corrosive gases on the Cr etch rate as observed using optical emission spectroscopy in a Ar/O<sub>2</sub>/Cl<sub>2</sub> mixed plasma," Thin Solid Films, Vol. 603, pp. 154-159, 2016.
- Roh, H.-J. et al., "Development of the Virtual Metrology for the Nitride Thickness in Multi-Layer Plasma-Enhanced Chemical-Vapor Deposition Using Plasma-Information Variables," IEEE. Trans. Semicond. Manuf., pp. 232-241, 2018.
- Jang, Y. et al., "Characteristics of a plasma information variable in phenomenology-based, statistically-tuned virtual metrology to predict silicon dioxide etching depth," Current Applied Physics, Vol. 19, pp. 1068-1075, 2019.
- Kim, H.-C., "Effects of Phase Difference between Voltage Waves Applied to Primary and Secondary Electrodes in Dual Radio Frequency Plasma Chamber," J. of the Semiconductor & Display Technology, Vol. 4, pp. 11-14, 2005.
- Choi, M.-S. et al., "Electrode Charging Effect on Ion Energy Distribution of Dual-Frequency Driven Capacitively Coupled Plasma Etcher," J. of the Semiconductor & Display Technology, Vol. 13, pp. 39-43, 2014.
- Teofil, R. F. et al., "Sorting variables by using informative vectors as a strategy for feature selection in multivariate regression," Journal of Chemometrics, Vol. 23, pp. 32-48, 2009.
- Montgomery, D. C. et al., "Introduction to linear regression analysis," 4<sup>th</sup> ed., John Wiley & Sons, Inc., 2006.

접수일: 2019년 11월 21일, 심사일: 2019년 11월 30일,  
게재확정일: 2019년 12월 5일